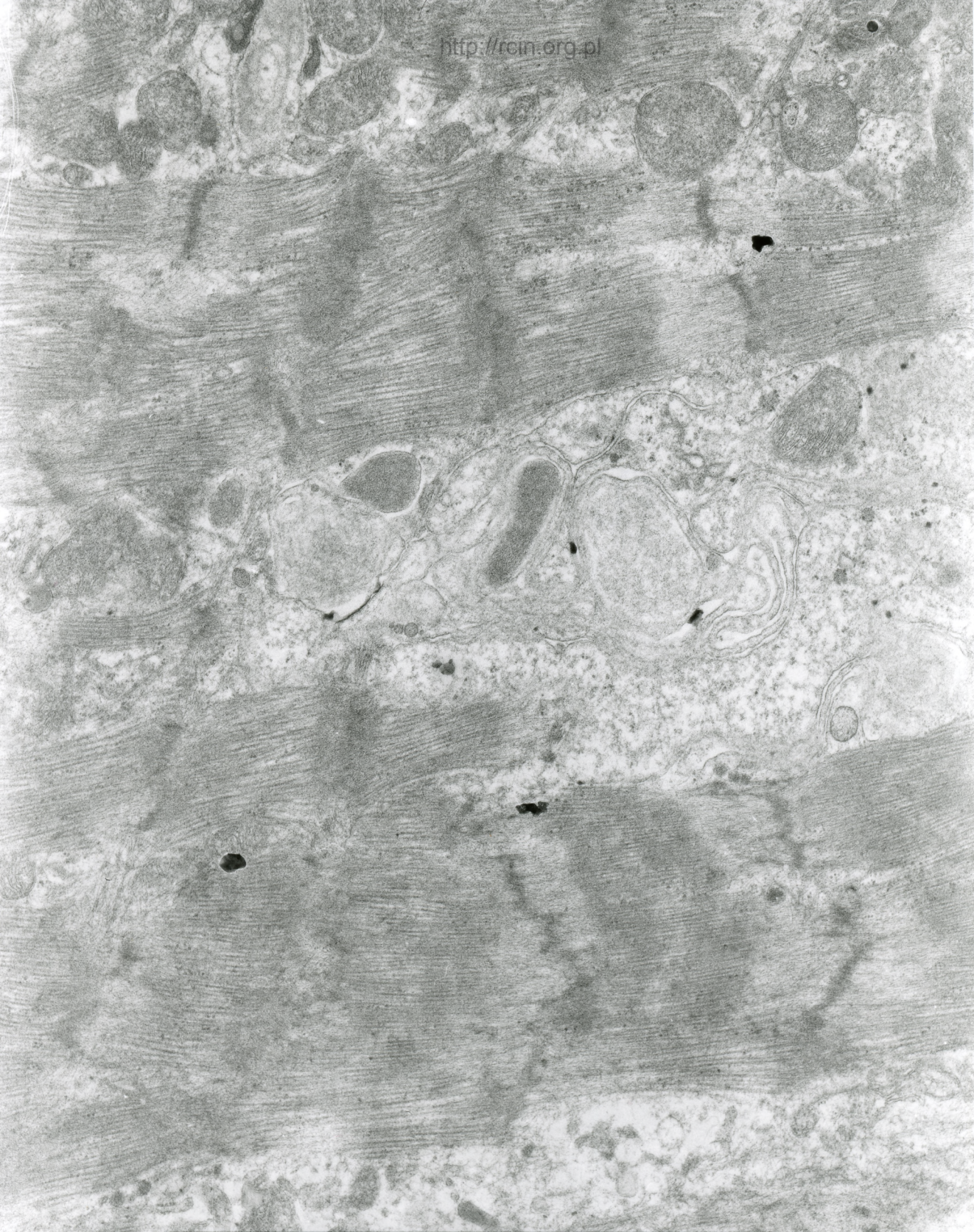


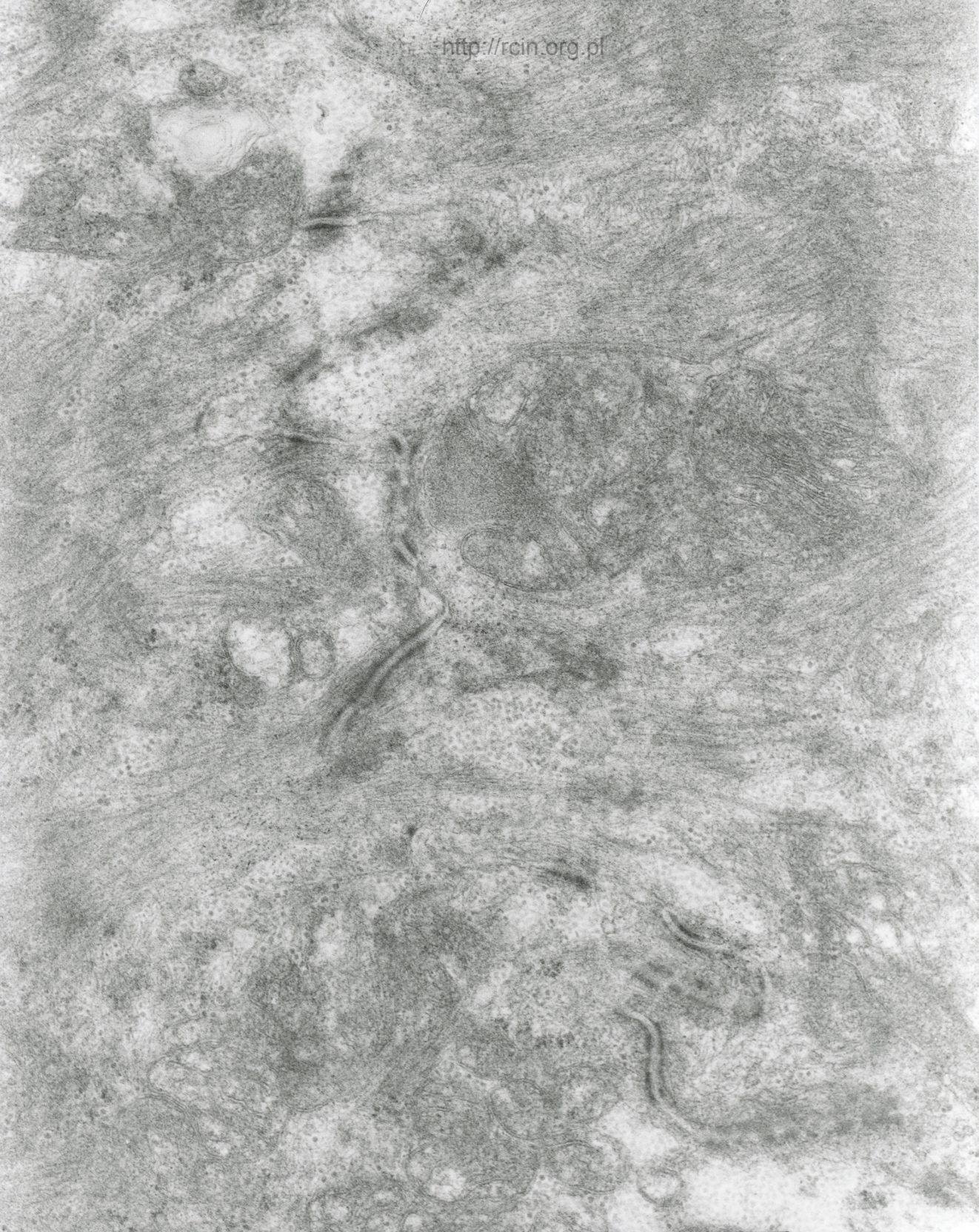
AF 93/02/serce
4R7786 80.0KV RX5000 1P

Fig. 1



AF 93/02/serce
4R7707 80.0KV RX7500 1Pb

Fig. 2



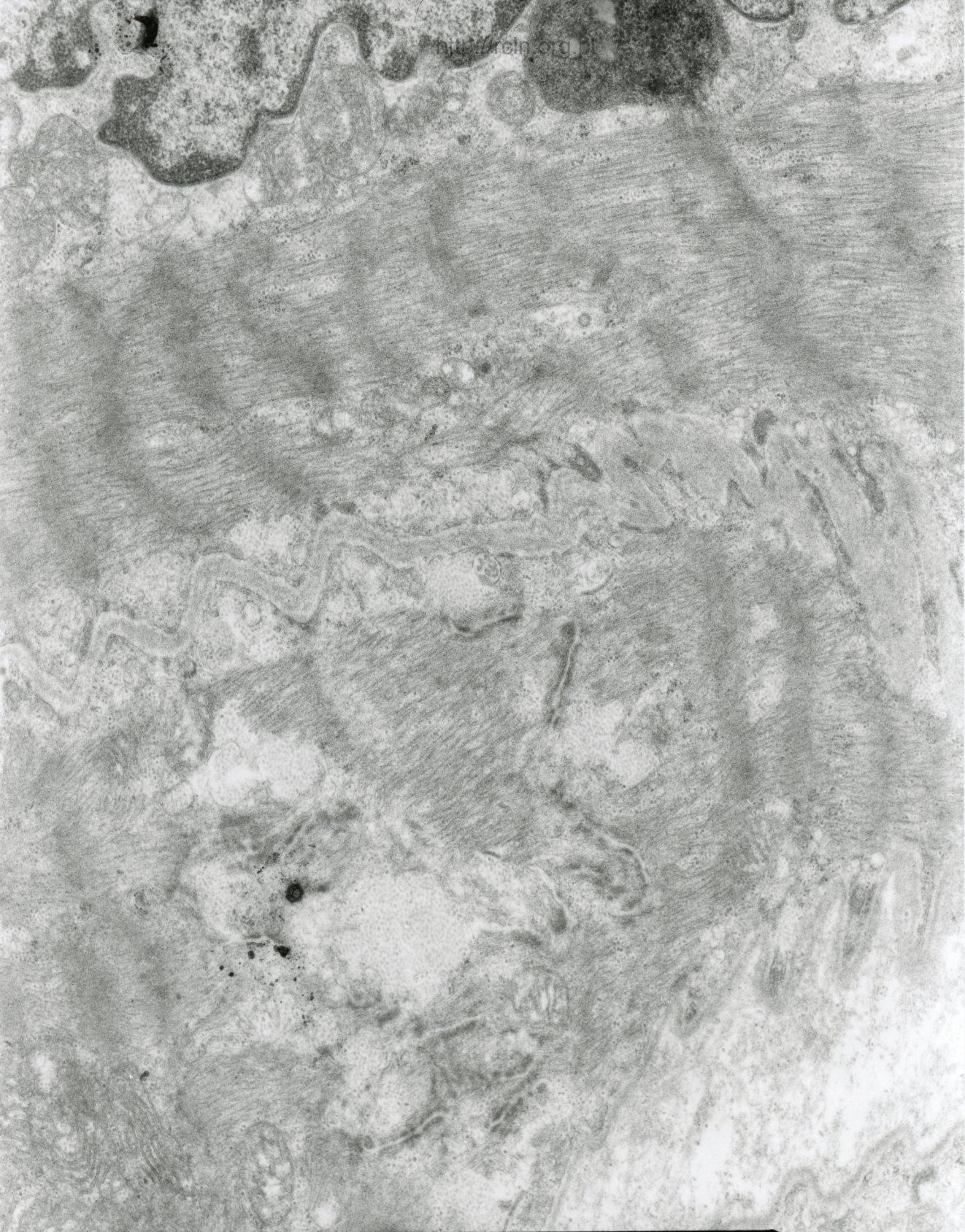
AF 93/02/serce
4R7777 80.0KV R X15K 500nm

Fig. 3



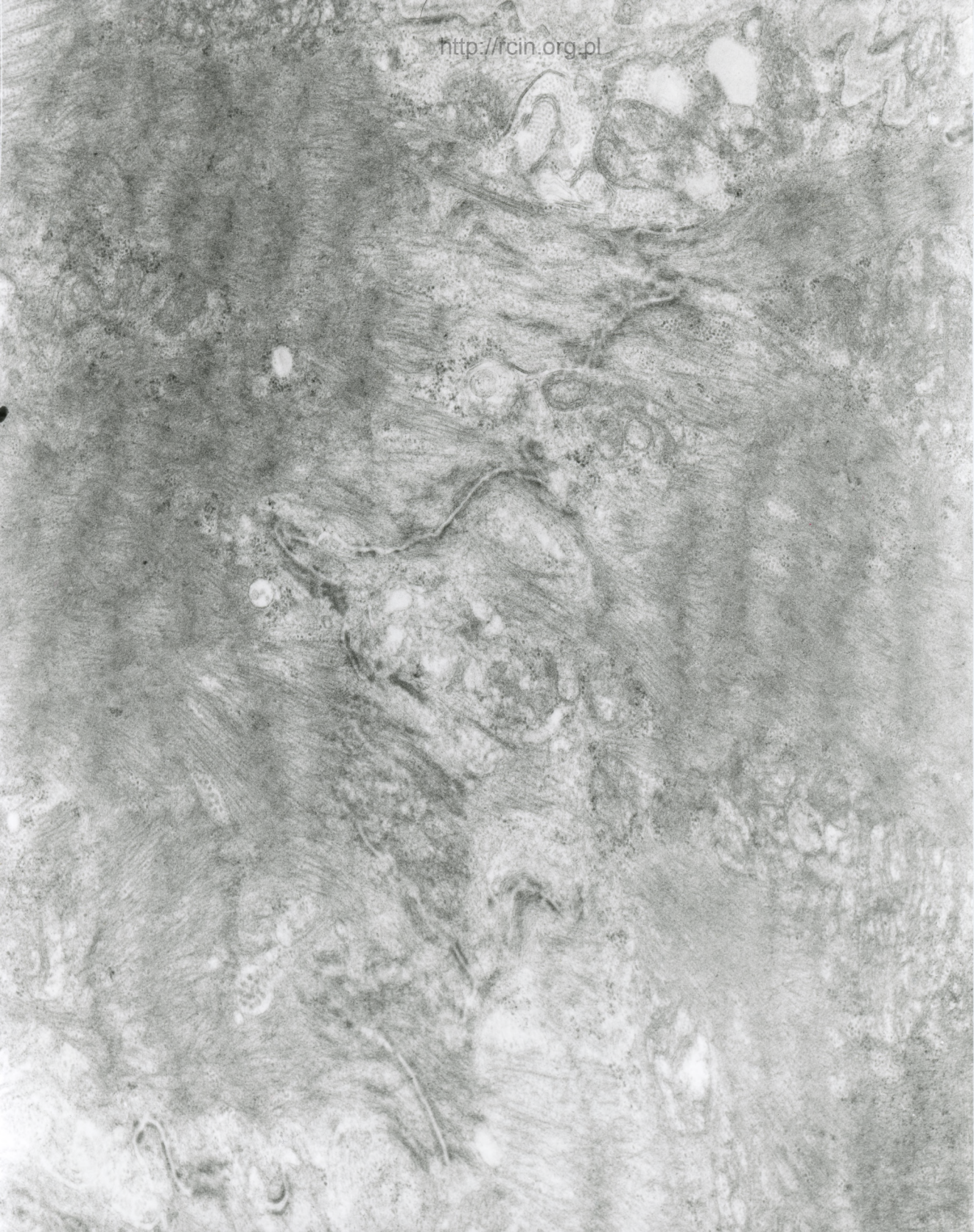
AF 93/02/serce
487701 00 AKU P X12K 500nm

Fig. 4



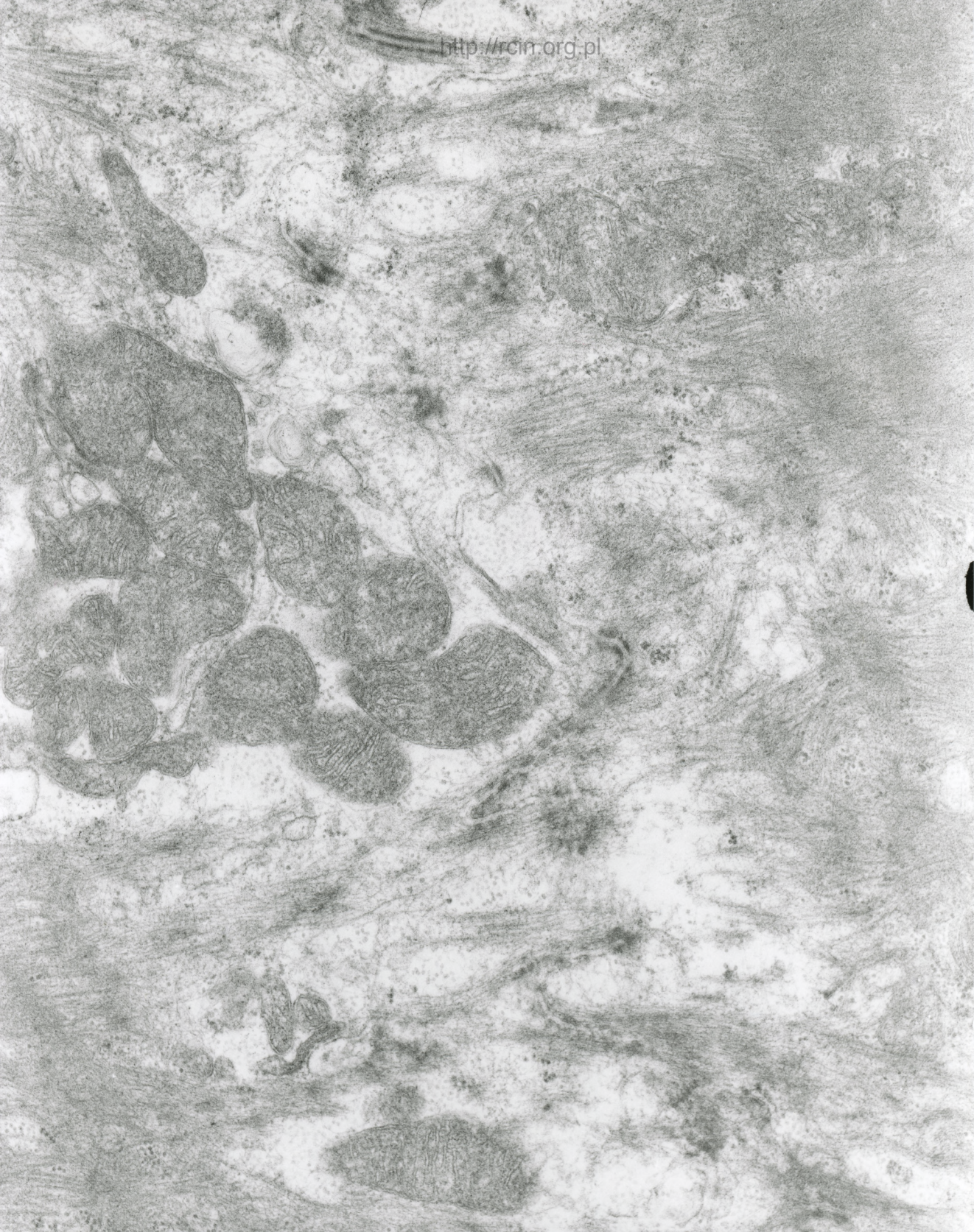
AF 93/02/serce
487772 20 AXU PX7500 150

Fig. 5



AF 93/02/serce
4R7779 80.0KV RX7500 IFB

Fig. 6



MF 93/02/serce
4R7700 80.0KV R X12K 500nm

Fig. 7

93/02

Analiza ultrastrukturalna wykazała zmiany w układzie sarkomerów w niektórych kardiomiocytach (Fig. 1,2). Sarkomery były przerwane, w miejscu ubytku miofibrili występowały mitochondria o zatartej strukturze i struktury błoniaste.

W znacznej części kardiomiocytów przebieg i budowa morfologiczna wstawki (intercalated disc) były zmienione. Ogniskowo występowało poszerzenie i przerwanie wstawki (Fig. 3-7).

Ultrastructural analysis revealed changes in the sarcomere pattern in some cardiomyocytes (Figs. 1,2). Sarcomeres were disrupted, and blurred mitochondria as well as membranous structures were present at the site of myofibril loss.

In a significant part of cardiomyocytes, altered course and morphological structure of the intercalated disc were observed. Focal widening and breaks of intercalated disc were seen (Figs. 3-7).